

УДК 539.3

К ГЕОМЕТРИЧЕСКИ НЕЛИНЕЙНОЙ УТОЧНЕННОЙ ТЕОРИИ
ОРТОТРОПНЫХ ПЛАСТИН ПЕРЕМЕННОЙ ТОЛЩИНЫ

Геворкян Г. З., Киракосян Р.М.

Ключевые слова: пластина, ортотропная, нелинейная теория, поперечные сдвиги.

Keywords: Plate, Orthotropic, Nonlinear Theory, Transverse Shears.

Գ.Զ. Գևորգյան, Ռ.Մ. Կիրակոսյան

Փոփոխական հաստության օրթոտրոպ սալերի երկրաչափորեն ոչ գծային ճշգրտված տեսության մասին

[3] մոդելի շրջանակներում արտածվում են փոփոխական հաստության օրթոտրոպ սալերի երկրաչափորեն ոչ գծային տեսության հավասարումները և ձևակերպվում են եզրային պայմանները՝ ընդլայնական սահբերի հաշվառմամբ: Համեմատության նպատակով նշված հավասարումներն ու եզրային պայմանները ստացվում են նաև [4] մոդելի հիման վրա: Որպես օրինակ լուծվում է գծայնորեն փոփոխական հաստության սալ-շերտի խնդիրը հավասարաչափ բաշխված մակերևույթային նորմալ բեռի դեպքում: Դիտարկվում են եզրային պայմանների երկու տարբերակներ: Առաջինում սալ-շերտի երկար կողմերը իրար նկատմամբ չտեղափոխվող հենարաններին ամրացված են հողակապորեն, իսկ մյուսում՝ ամրակցված են: Ստացված արդյունքների հիման վրա արվում են որակական և քանակական եզրակացություններ:

G.Z. Gevorgyan, R.M. Kirakosyan

On the Geometrically Nonlinear Refined Theory of Variable Thickness Orthotropic Plates

On the base of [3] differential equations and boundary conditions of geometrically nonlinear theory of variable thickness orthotropic plates with the account of transverse shears are obtained. As an example a problem for linear variable thickness orthotropic plate in action of uniformly distributed surface loadings is solved.

На основе модели [3] выведены разрешающие дифференциальные уравнения и сформулированы краевые условия геометрически нелинейной теории ортотропных пластин переменной толщины при учете деформаций поперечных сдвигов. С целью сравнения отмеченные уравнения и краевые условия получены еще и на основе модели [4]. В качестве примера решены задачи ортотропной пластины-полосы линейно-переменной толщины при действительной равномерно распределенной поверхностной нагрузке, нормальной к срединной плоскости. Рассмотрены случаи, когда пластина-полоса шарнирно закреплена и защемлена. На основе анализа полученных результатов сделаны качественные и количественные заключения.

Обширную литературу о нелинейных теориях пластин и оболочек и их многочисленных применениях можно найти в [5]– [7].

1. В прямоугольной системе координат $Oxyz$ рассмотрим ортотропную пластину переменной толщины h , симметричную относительно срединной плоскости. Координатную плоскость xOy совместим со срединной плоскостью пластины, а ось z направим перпендикулярно к ней. Попытаемся получить систему разрешающих дифференциальных уравнений и сформулировать краевые условия геометрически нелинейной теории рассматриваемой пластины при учете деформаций поперечных сдвигов. Будем считать, что:

а) нормальное к срединной плоскости пластины перемещение $u_z = w$ не зависит от координаты z ;

б) влияние нормального напряжения σ_z пренебрежительно мало;

в) по сравнению с единицей малы не только деформации (удлинения и сдвиги), но и углы поворота элементов пластины.

В силу вышеизложенного, во всех исходных соотношениях и уравнениях нелинейной теории упругости сохраним только те нелинейные члены, которые содержат прогиб w и его производные [1]. Тогда общеизвестные выкладки приводят к следующей системе разрешающих уравнений для равновесия дифференциального элемента срединной плоскости [2]:

$$\begin{aligned} \frac{\partial T_x}{\partial x} + \frac{\partial S}{\partial y} &= -X_2, & \frac{\partial T_y}{\partial y} + \frac{\partial S}{\partial x} &= -Y_2 \\ \frac{\partial N_x}{\partial x} + \frac{\partial N_y}{\partial y} + \frac{\partial}{\partial x} \left(T_x \frac{\partial w}{\partial x} + S \frac{\partial w}{\partial y} \right) + \frac{\partial}{\partial y} \left(T_y \frac{\partial w}{\partial y} + S \frac{\partial w}{\partial x} \right) &= \\ &= -Z_2 - X_2 \frac{\partial w}{\partial x} - Y_2 \frac{\partial w}{\partial y} \\ \frac{\partial M_x}{\partial x} + \frac{\partial M_{xy}}{\partial y} &= N_x - hX_1, & \frac{\partial M_y}{\partial y} + \frac{\partial M_{xy}}{\partial x} &= N_y - hY_1 \end{aligned} \quad (1.1)$$

Здесь, как обычно, T_x, T_y, S, N_x, N_y и M_x, M_y, M_{xy} – усилия и моменты,

$$\begin{aligned} X_1 &= (X^+ - X^-)/2, & Y_1 &= (Y^+ - Y^-)/2 \\ X_2 &= X^+ + X^-, & Y_2 &= Y^+ + Y^-, & Z_2 &= Z^+ + Z^- \end{aligned} \quad (1.2)$$

Через X^\pm, Y^\pm, Z^\pm обозначены проекции интенсивностей нагрузок на поверхностях $z = +h/2$ и $z = -h/2$ соответственно.

Следуя [3], для тангенциальных перемещений по осям x и y напомним

$$u_x = u + z(a_{55}\varphi - \partial w / \partial x), \quad u_y = v + z(a_{44}\psi - \partial w / \partial y) \quad (1.3)$$

Здесь

$$a_{55}\varphi - \partial w / \partial x = \theta_x, \quad a_{44}\psi - \partial w / \partial y = \theta_y \quad (1.4)$$

– углы поворота нормального элемента пластинки в плоскостях xOz и yOz соответственно, a_{55}, a_{44} – соответствующие коэффициенты сдвигов материала, φ, ψ – искомые функции координат x, y .

С учетом (1.3), (1.4) и обобщенного закона Гука ортотропного тела, для усилий и моментов пластинки в рамках модели [3] получим:

$$\begin{aligned} T_x &= h \left\{ B_{11} \left[\frac{\partial u}{\partial x} + \frac{1}{2} \left(\frac{\partial w}{\partial x} \right)^2 \right] + B_{12} \left[\frac{\partial v}{\partial y} + \frac{1}{2} \left(\frac{\partial w}{\partial y} \right)^2 \right] \right\} \\ T_y &= h \left\{ B_{22} \left[\frac{\partial v}{\partial y} + \frac{1}{2} \left(\frac{\partial w}{\partial y} \right)^2 \right] + B_{12} \left[\frac{\partial u}{\partial x} + \frac{1}{2} \left(\frac{\partial w}{\partial x} \right)^2 \right] \right\} \\ S &= h B_{66} \left(\frac{\partial u}{\partial y} + \frac{\partial v}{\partial x} + \frac{\partial w}{\partial x} \frac{\partial w}{\partial y} \right) \end{aligned} \quad (1.5)$$

$$\begin{aligned}
M_x &= -\frac{h^3}{12} \left[B_{11} \left(\frac{\partial^2 w}{\partial x^2} - a_{55} \frac{\partial \varphi}{\partial x} \right) + B_{12} \left(\frac{\partial^2 w}{\partial y^2} - a_{44} \frac{\partial \psi}{\partial y} \right) \right] \\
M_x &= -\frac{h^3}{12} \left[B_{22} \left(\frac{\partial^2 w}{\partial y^2} - a_{44} \frac{\partial \psi}{\partial y} \right) + B_{12} \left(\frac{\partial^2 w}{\partial x^2} - a_{55} \frac{\partial \varphi}{\partial x} \right) \right] \\
M_{xy} &= -\frac{h^3 B_{66}}{12} \left(2 \frac{\partial^2 w}{\partial x \partial y} - a_{55} \frac{\partial \varphi}{\partial y} - a_{44} \frac{\partial \psi}{\partial x} \right) \\
N_x &= \frac{1}{3h} \left[h^2 (2\varphi + X_1) + 3 \left(M_x \frac{\partial h}{\partial x} + M_{xy} \frac{\partial h}{\partial y} \right) \right] \\
N_y &= \frac{1}{3h} \left[h^2 (2\psi + Y_1) + 3 \left(M_y \frac{\partial h}{\partial y} + M_{xy} \frac{\partial h}{\partial x} \right) \right]
\end{aligned} \tag{1.6}$$

В рамках модели [4] отличаются только выражения поперечных сил. Вместо (1.6) имеем:

$$N_x = h\varphi, \quad N_y = h\psi \tag{1.7}$$

С учетом выражений усилий и моментов из (1.1) получим систему пяти дифференциальных уравнений относительно пяти искомым функций u , v , w , φ , ψ . В рамках модели [3] эта система имеет вид:

$$\begin{aligned}
&h \left[B_{11} \left(\frac{\partial^2 u}{\partial x^2} + \frac{\partial w}{\partial x} \frac{\partial^2 w}{\partial x^2} \right) + B_{12} \left(\frac{\partial^2 v}{\partial x \partial y} + \frac{\partial w}{\partial y} \frac{\partial^2 w}{\partial x \partial y} \right) + B_{66} \left(\frac{\partial^2 u}{\partial y^2} + \frac{\partial^2 v}{\partial x \partial y} + \right. \right. \\
&\left. \left. + \frac{\partial w}{\partial x} \frac{\partial^2 w}{\partial y^2} + \frac{\partial w}{\partial y} \frac{\partial^2 w}{\partial x \partial y} \right) \right] + \left\{ B_{11} \left[\frac{\partial u}{\partial x} + \frac{1}{2} \left(\frac{\partial w}{\partial x} \right)^2 \right] + B_{12} \left[\frac{\partial v}{\partial y} + \frac{1}{2} \left(\frac{\partial w}{\partial y} \right)^2 \right] \right\} \frac{\partial h}{\partial x} + \\
&+ B_{66} \left(\frac{\partial u}{\partial y} + \frac{\partial v}{\partial x} + \frac{\partial w}{\partial x} \frac{\partial w}{\partial y} \right) \frac{\partial h}{\partial y} = -X_2 \\
&h \left[B_{22} \left(\frac{\partial^2 v}{\partial y^2} + \frac{\partial w}{\partial y} \frac{\partial^2 w}{\partial y^2} \right) + B_{12} \left(\frac{\partial^2 u}{\partial x \partial y} + \frac{\partial w}{\partial x} \frac{\partial^2 w}{\partial x \partial y} \right) + B_{66} \left(\frac{\partial^2 v}{\partial x^2} + \frac{\partial^2 u}{\partial x \partial y} + \right. \right. \\
&\left. \left. + \frac{\partial w}{\partial y} \frac{\partial^2 w}{\partial x^2} + \frac{\partial w}{\partial x} \frac{\partial^2 w}{\partial x \partial y} \right) \right] + \left\{ B_{22} \left[\frac{\partial v}{\partial y} + \frac{1}{2} \left(\frac{\partial w}{\partial y} \right)^2 \right] + B_{12} \left[\frac{\partial u}{\partial x} + \frac{1}{2} \left(\frac{\partial w}{\partial x} \right)^2 \right] \right\} \frac{\partial h}{\partial y} + \\
&+ B_{66} \left(\frac{\partial u}{\partial y} + \frac{\partial v}{\partial x} + \frac{\partial w}{\partial x} \frac{\partial w}{\partial y} \right) \frac{\partial h}{\partial x} = -Y_2
\end{aligned} \tag{1.8}$$

$$\begin{aligned}
&h^2 \left[\left(B_{11} \frac{\partial^2 h}{\partial x^2} + B_{12} \frac{\partial^2 h}{\partial y^2} \right) \frac{\partial^2 w}{\partial x^2} + \left(B_{22} \frac{\partial^2 h}{\partial y^2} + B_{12} \frac{\partial^2 h}{\partial x^2} \right) \frac{\partial^2 w}{\partial y^2} + 4B_{66} \frac{\partial^2 h}{\partial x \partial y} \frac{\partial^2 w}{\partial x \partial y} \right] - \\
&- h \left\{ \left[8 + a_{55} h \left(B_{11} \frac{\partial^2 h}{\partial x^2} + B_{12} \frac{\partial^2 h}{\partial y^2} \right) \right] \frac{\partial \varphi}{\partial x} + \left[8 + a_{44} h \left(B_{22} \frac{\partial^2 h}{\partial y^2} + B_{12} \frac{\partial^2 h}{\partial x^2} \right) \right] \frac{\partial \psi}{\partial y} \right\} -
\end{aligned}$$

$$\begin{aligned}
& -2B_{66}h^2 \frac{\partial^2 h}{\partial x \partial y} \left(a_{55} \frac{\partial \varphi}{\partial y} + a_{44} \frac{\partial \psi}{\partial x} \right) - 16 \left(\frac{\partial h}{\partial x} \varphi + \frac{\partial h}{\partial y} \psi \right) - \\
& -12 \left[\frac{\partial}{\partial x} \left(T_x \frac{\partial w}{\partial x} + S \frac{\partial w}{\partial y} \right) + \frac{\partial}{\partial y} \left(T_y \frac{\partial w}{\partial y} + S \frac{\partial w}{\partial x} \right) \right] = \\
& = 4 \left[3 \left(Z_2 + X_2 \frac{\partial w}{\partial x} + Y_2 \frac{\partial w}{\partial y} \right) + h \left(\frac{\partial X_1}{\partial x} + \frac{\partial Y_1}{\partial y} \right) - X_1 \frac{\partial h}{\partial x} - Y_1 \frac{\partial h}{\partial y} \right] \\
& h^2 \left[B_{11} \frac{\partial^3 w}{\partial x^3} + (B_{12} + 2B_{66}) \frac{\partial^3 w}{\partial x \partial y^2} \right] + \underline{2}h \left[\left(B_{11} \frac{\partial^2 w}{\partial x^2} + B_{12} \frac{\partial^2 w}{\partial y^2} \right) \frac{\partial h}{\partial x} + 2B_{66} \frac{\partial^2 w}{\partial x \partial y} \frac{\partial h}{\partial y} \right] - \\
& -h^2 \left[a_{55} \left(B_{11} \frac{\partial^2 \varphi}{\partial x^2} + B_{66} \frac{\partial^2 \varphi}{\partial y^2} \right) + a_{44} (B_{12} + B_{66}) \frac{\partial^2 \psi}{\partial x \partial y} \right] - \\
& -\underline{2}h \left[a_{55} \left(B_{11} \frac{\partial h}{\partial x} \frac{\partial \varphi}{\partial x} + B_{66} \frac{\partial h}{\partial y} \frac{\partial \varphi}{\partial y} \right) + a_{44} \left(B_{12} \frac{\partial h}{\partial x} \frac{\partial \psi}{\partial y} + B_{66} \frac{\partial h}{\partial y} \frac{\partial \psi}{\partial x} \right) \right] + \underline{8}\varphi = \underline{8}X_1 \\
& h^2 \left[B_{22} \frac{\partial^3 w}{\partial y^3} + (B_{12} + 2B_{66}) \frac{\partial^3 w}{\partial x^2 \partial y} \right] + \underline{2}h \left[\left(B_{22} \frac{\partial^2 w}{\partial y^2} + B_{12} \frac{\partial^2 w}{\partial x^2} \right) \frac{\partial h}{\partial y} + 2B_{66} \frac{\partial^2 w}{\partial x \partial y} \frac{\partial h}{\partial x} \right] - \\
& -h^2 \left[a_{44} \left(B_{22} \frac{\partial^2 \psi}{\partial y^2} + B_{66} \frac{\partial^2 \psi}{\partial x^2} \right) + a_{55} (B_{12} + B_{66}) \frac{\partial^2 \varphi}{\partial x \partial y} \right] - \\
& -\underline{2}h \left[a_{44} \left(B_{22} \frac{\partial h}{\partial y} \frac{\partial \psi}{\partial y} + B_{66} \frac{\partial h}{\partial x} \frac{\partial \psi}{\partial x} \right) + a_{55} \left(B_{12} \frac{\partial h}{\partial y} \frac{\partial \varphi}{\partial x} + B_{66} \frac{\partial h}{\partial x} \frac{\partial \varphi}{\partial y} \right) \right] + \underline{8}\psi = \underline{8}Y_1
\end{aligned}$$

Ради простоты в третьем уравнении системы (1.8) выражения усилий T_x , T_y и S не подставлены.

В рамках модели [4] первые два уравнения системы (1.8) остаются без изменения. Третье уравнение принимает вид:

$$\begin{aligned}
& h \left(\frac{\partial \varphi}{\partial x} + \frac{\partial \psi}{\partial y} \right) + \frac{\partial h}{\partial x} \varphi + \frac{\partial h}{\partial y} \psi + \frac{\partial}{\partial x} \left(T_x \frac{\partial w}{\partial x} + S \frac{\partial w}{\partial y} \right) + \\
& + \frac{\partial}{\partial y} \left(T_y \frac{\partial w}{\partial y} + S \frac{\partial w}{\partial x} \right) = -Z_2 - X_2 \frac{\partial w}{\partial x} - Y_2 \frac{\partial w}{\partial y}
\end{aligned} \tag{1.9}$$

Четвертое и пятое уравнения отличаются от соответствующих уравнений системы (1.8) только тем, что в них вместо подчеркнутых коэффициентов $\underline{2}$ и $\underline{8}$ фигурируют коэффициенты 3 и 12, соответственно.

Разрешающая система дифференциальных уравнений в рамках обеих моделей имеет десятый порядок. В соответствии с этим на каждом краю пластинки следует ставить по пять краевых условий. Приведем некоторые условия для края $x = \text{const}$.

а) Условия свободного края.

По модели [3]

$$\begin{aligned}
B_{11} \left[\frac{\partial u}{\partial x} + \frac{1}{2} \left(\frac{\partial w}{\partial x} \right)^2 \right] + B_{12} \left[\frac{\partial v}{\partial y} + \frac{1}{2} \left(\frac{\partial w}{\partial y} \right)^2 \right] &= 0 \quad (T_x = 0) \\
\frac{\partial u}{\partial y} + \frac{\partial v}{\partial x} + \frac{\partial w}{\partial x} \frac{\partial w}{\partial y} &= 0 \quad (S = 0) \\
2\varphi + X_1 &= 0 \quad (N_x = 0) \\
B_{11} \left(\frac{\partial^2 w}{\partial x^2} - a_{55} \frac{\partial \varphi}{\partial x} \right) + B_{12} \left(\frac{\partial^2 w}{\partial y^2} - a_{44} \frac{\partial \psi}{\partial y} \right) &= 0 \quad (M_x = 0) \\
2 \frac{\partial^2 w}{\partial x \partial y} - a_{55} \frac{\partial \varphi}{\partial y} - a_{44} \frac{\partial \psi}{\partial x} &= 0 \quad (M_{xy} = 0)
\end{aligned} \tag{1.10}$$

В рамках модели [4] третье условие свободного края заменяется условием

$$\varphi = 0 \tag{1.11}$$

а остальные остаются без изменений.

б) Условия шарнирно опертого края.

В рамках обеих моделей третье условие свободного края заменяется условием $w = 0$, а остальные остаются без изменений.

Заметим, что второе условие (1.10) можно в рамках обеих моделей заменить условием

$$\frac{\partial w}{\partial y} - a_{44} \psi = 0 \quad (u_y = 0) \tag{1.12}$$

в) Условия заделанного края:

$$\begin{aligned}
u = 0, \quad \frac{\partial w}{\partial x} - a_{55} \varphi &= 0 \quad (u_x = 0) \\
v = 0, \quad \frac{\partial w}{\partial y} - a_{44} \psi &= 0 \quad (u_y = 0) \\
w &= 0 \quad (u_z = 0)
\end{aligned} \tag{1.13}$$

Возможны и другие условия. Аналогичным образом можно сформулировать условия для края $y = \text{const}$.

Как и следовало ожидать, плоская задача и задача изгиба в геометрически нелинейной постановке не разделяются друг от друга. Это очевидно, поскольку как в дифференциальных уравнениях, так и в краевых условиях участвуют величины и плоской задачи, и задачи изгиба.

2. Рассмотрим пластинку-полосу ширины l , толщина которой вдоль длины не изменяется, а вдоль ширины изменяется по линейному закону

$$h = h_0 + h_1 x \tag{2.1}$$

Полоса несет равномерно распределенную поверхностную нагрузку интенсивности q , перпендикулярную к срединной плоскости:

$$X_1 = X_2 = 0, \quad Z_2 = q \tag{2.2}$$

В рассмотренном случае второе и пятое уравнения системы (1.1) удовлетворяются автоматически, а остальные принимают вид:

$$\frac{dT_x}{dx} = 0, \quad \frac{dN_x}{dx} = -q - T_x \frac{d^2w}{dx^2}, \quad \frac{dM_x}{dx} = N_x \quad (2.3)$$

Проинтегрировав (2.3), получим:

$$T_x = \text{const}, \quad N_x = C_1 - qx - T_x \frac{dw}{dx}, \quad M_x = C_2 + C_1 x - \frac{qx^2}{2} - T_x w \quad (2.4)$$

где C_1, C_2 – постоянные интегрирования.

Имея в виду (1.6), (1.7), для функции φ получим:

а) в рамках модели [3]–

$$\varphi = \frac{3}{2h^2} \left[C_1 h_0 - C_2 h_1 - \frac{qx}{2} (2h_0 + h_1 x) - T_x \left(h \frac{dw}{dx} - h_1 w \right) \right] \quad (2.5)$$

б) в рамках модели [4]–

$$\varphi = \frac{1}{h} \left(C_1 - qx - T_x \frac{dw}{dx} \right) \quad (2.6)$$

Переходим к безразмерным величинам:

$$x = l \bar{x}, \quad w = h_0 \bar{w}, \quad h = h_0 H, \quad s = h_0 / l, \quad \gamma = h_1 / s, \quad H = 1 + \gamma \bar{x}, \quad \chi = a_{55} B_{11}$$

$$q = B_{11} \bar{q}, \quad T_x = B_{11} h_0 T, \quad N_x = B_{11} h_0 N, \quad \varphi = B_{11} \bar{\varphi}, \quad M_x = B_{11} h_0^2 M \quad (2.7)$$

$$C_1 = B_{11} h_0 \bar{C}_1, \quad C_2 = B_{11} h_0^2 \bar{C}_2$$

С учетом (2.4)–(2.7) и выражения момента (1.5) приходим к разрешающему дифференциальному уравнению второго порядка относительно прогиба срединной плоскости:

а) по модели [3]–

$$\begin{aligned} & \left(1 + \frac{3\chi T}{2H} \right) \frac{d^2 \bar{w}}{d\bar{x}^2} - \frac{3\chi \gamma T}{H^2} \frac{d\bar{w}}{d\bar{x}} - \frac{3\bar{T}}{s^2 H^3} (4 - \chi \gamma^2 s^2) \bar{w} = \\ & = \frac{6\bar{q} \bar{x}^2}{s^4 H^3} - \frac{3\chi \bar{q}}{2s^2 H^3} - \frac{3\bar{C}_1}{s^3 H^3} (4\bar{x} + \chi \gamma^2 s^3) - \frac{3\bar{C}_2}{s^2 H^3} (4 - \chi \gamma^2 s^2) \end{aligned} \quad (2.8)$$

б) по модели [4]–

$$\begin{aligned} & \left(1 + \frac{\chi T}{H} \right) \frac{d^2 \bar{w}}{d\bar{x}^2} - \frac{\chi \gamma T}{H^2} \frac{d\bar{w}}{d\bar{x}} - \frac{12T}{s^2 H^3} \bar{w} = \\ & = \frac{6\bar{q} \bar{x}^2}{s^4 H^3} - \frac{\chi \bar{q}}{s^2 H^2} - \frac{C_1}{s^3 H^3} (12\bar{x} + \chi \gamma s^2 H) - \frac{12\bar{C}_2}{s^2 H^3} \end{aligned} \quad (2.9)$$

Задачу будем решать для двух вариантов краевых условий. В одном из них длинные края пластинки-полосы шарнирно закреплены, а в другом защемлены. Расстояние между опорами неизменно. Эти условия имеют вид:

1) шарнирное закрепление–

$$\bar{w} \Big|_{\substack{\bar{x}=0 \\ \bar{x}=1}} = 0, \quad \left(2s^2 \bar{C}_2 + 2s \bar{C}_1 \bar{x} - \bar{q} \bar{x}^2 \right) \Big|_{\substack{\bar{x}=0 \\ \bar{x}=1}} = 0, \quad \left(M_x \Big|_{\substack{x=0 \\ x=l}} = 0 \right) \quad (2.10)$$

Из последних двух условий следует:

$$\bar{C}_2 = 0, \quad \bar{C}_1 = \frac{\bar{q}}{2s} \quad (2.11)$$

II) защемление. В этом случае первые два условия (2.10) сохраняются, а последние два заменяются следующими условиями:

$$\left(s \frac{d\bar{w}}{d\bar{x}} - \chi \bar{\varphi} \right) \Big|_{\bar{x}=0}^{\bar{x}=1} = 0, \quad \left(u_x \Big|_{x=0}^{x=l} = 0 \right) \quad (2.12)$$

С учетом (2.5)-(2.7) эти условия принимают вид:

а) в рамках модели [3]–

$$\left\{ 2s^2 H (2H + 3\chi T) \frac{d\bar{w}}{d\bar{x}} - 6\chi\gamma s^2 T \bar{w} - 3\chi [2s\bar{C}_1 - 2\gamma s^2 C_2 - \bar{q} \bar{x} (2 + \gamma \bar{x})] \right\} \Big|_{\bar{x}=0}^{\bar{x}=1} = 0 \quad (2.13)$$

б) в рамках модели [4]–

$$\left[s^2 (H + \chi T) \frac{d\bar{w}}{d\bar{x}} + \chi (\bar{q} \bar{x} - s\bar{C}_1) \right] \Big|_{\bar{x}=0}^{\bar{x}=1} = 0 \quad (2.14)$$

Отметим, что к приведенным условиям нужно добавить условие неизменности расстояния между краями пластинки-полосы, из которого следует:

$$T = \frac{\gamma s^2}{2} \cdot \frac{\int_0^1 (d\bar{w}/d\bar{x})^2 d\bar{x}}{\ln(1 + \gamma)} \quad (2.15)$$

В случае пластинки-полосы постоянной толщины $\gamma = 0$ и (2.15) принимает вид

$$T = \frac{s^2}{2} \cdot \int_0^1 (dw/dx)^2 dx \quad (2.16)$$

Численное решение задачи удобно реализовать по следующей схеме последовательных приближений, включающей метод коллокаций. Для первого приближения принимается $T_1 = 0$ и по методу коллокаций решается разрешающее уравнение. Имея коэффициенты ряда w_1 , удовлетворяющего соответствующим краевым условиям, по формуле (2.15) вычисляется значение T_1' . Для второго приближения принимается $T_2 = (T_1 + T_1')/2$ и после решения этого приближения по формуле (2.15) вычисляется значение T_2' . Для третьего приближения принимается $T_3 = (T_2 + T_2')/2$ и т.д. Таким образом,

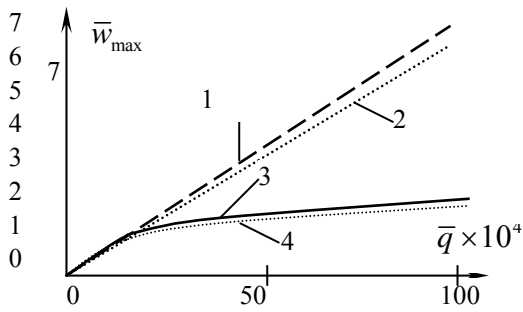
$$T_{n+1} = (T_n + T_n')/2, \quad T_1 = 0, \quad n = 1, 2, \dots \quad (2.17)$$

Заметим, что если заданное значение T_n меньше действительного значения T , то $T_n' > T$ и наоборот. Следовательно, действительное значение T всегда будет находиться между начальным T_n и конечным T_n' значениями любого приближения, т.е всегда удовлетворяется одно из следующих неравенств:

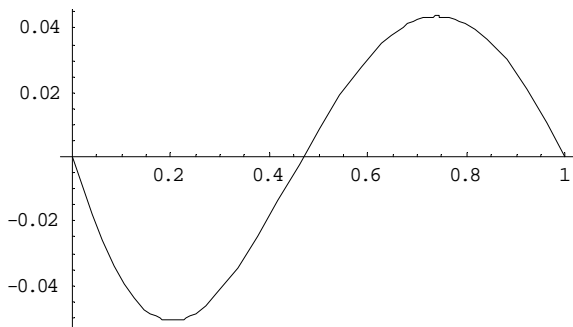
$$T_n < T < T_n' \quad \text{или} \quad T_n > T > T_n' \quad (2.18)$$

Это обстоятельство обеспечивает большую скорость сходимости. Процесс итерации следует прекращать при достижении желаемого сближения T_n и T_n' . В случае пластинки-полосы постоянной толщины $\gamma = 0$, $H = 1$ и разрешающие уравнения (2.8) и (2.9) становятся уравнениями с постоянными коэффициентами,

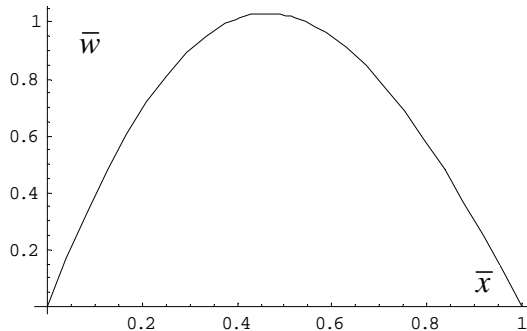
допускающими аналитически замкнутые решения. Однако это существенно не упрощает решения задачи, поскольку условие (2.16) приводит к сложному трансцендентному уравнению [1], которое можно решать все же численно. Поэтому решение задачи для пластинки-полосы постоянной толщины целесообразно получить как частный случай решения задачи пластинки-полосы переменной толщины, заменив условие (2.15) условием (2.16) и положив $\gamma = 0$.



Фиг. 1. 1 – по линейной теории [3], 2 – по линейной теории [4], 3 – по [3] с учетом нелинейности, 4 – по [4] с учетом нелинейности



Фиг. 2



Фиг. 3

3. Рассмотрим ортотропные пластинки-полосы постоянной и линейно-переменной толщин. На фиг. 1 приведены графики максимальных прогибов в зависимости от нагрузки \bar{q} по теориям [3] и [4] по линейной теории и с учетом нелинейности.

На фиг. 2 и 3 приведены графики горизонтального перемещения срединной плоскости \bar{u} и прогиба \bar{w} в зависимости от \bar{x} по теории [3]. По теории [4] они качественно не отличаются. Графики фиг. 1–3 построены при $\gamma = 1; s = 0,1, \chi = 10$ в случае шарнирного закрепления.

В табл. 1 и 2 представлены безразмерные значения некоторых величин, определенных по теориям [3] и [4]. Через \bar{x}_1 и \bar{x}_2 обозначены значения безразмерных координат сечений с максимальным прогибом \bar{w}_m и с максимальным отношением w/h соответственно. В последних графах таблиц приведены числа итераций, обеспечивающих точность 0,1%.

Анализ графиков и данных таблиц приводит к следующим заключениям.

1. Во всех рассмотренных случаях учет геометрической нелинейности в рамках теорий [3] и [4] приводит к качественно одинаковым результатам:

а) максимальные прогибы существенно уменьшаются по сравнению с прогибами, полученными по геометрически линейной постановке;

б) эта тенденция сравнительно сильно проявляется в случае шарнирного, чем заделанного крепления краев пластины-полосы к несмещающимся опорам;

в) с уменьшением относительного модуля поперечного сдвига материала (с увеличением параметра χ) как максимальные прогибы \bar{w}_1 и \bar{w}_n , полученные по

геометрически линейной и нелинейной постановкам, так и их отношение $\bar{w}_л / \bar{w}_н$ умеренно растут;

г) значения тангенциального усилия T по обеим теориям практически совпадают и с увеличением параметра χ растут незначительно;

д) числа итераций, обеспечивающих одинаковую точность получения расчетных величин, безразличны по отношению к краевым условиям и по обеим теориям практически совпадают;

е) максимальные значения перемещения \bar{u} в несколько десятков раз меньше максимальных значений \bar{w} .

Таблица 1

Шарнирное закрепление				T	\bar{x}_1	$\bar{w}_м$	\bar{x}_2	$(w/h)_м$	число итер.	
по теории [3]	$\gamma=0,$ $s=0,15,$ $q=0,005$	χ	0	л	0	0,5	1.5432	0,5	1.5432	0
				н	0.02459	0.5	0.6601	0.5	0.6601	8
		3	л	0	0,5	1.668	0,5	1.668	0	
			н	0.02537	0.5	0.6676	0.5	0.6676	8	
		10	л	0	0,5	1.960	0,5	1.960	0	
			н	0.02684	0.5	0.6815	0.5	0.6815	9	
	$\gamma=1,$ $s=0,1,$ $q=0,005$	χ	0	л	0	0.4398	2.561	0.3698	1.824	0
				н	0.03747	0.4546	1.009	0.3818	0.7116	8
		3	л	0	0.4383	2.753	0.3676	1.963	0	
			н	0.03846	0.4573	1.019	0.3829	0.7177	8	
		10	л	0	0.4354	3.203	0.3632	2.290	0	
			н	0.04038	0.4628	1.0382	0.3856	0.7291	8	
по теории [4]	$\gamma=0,$ $s=0,15,$ $\bar{q}=0,005$	χ	0	л	0	0,5	1.5432	0,5	1.5432	0
				н	0.02459	0.5	0.6601	0.5	0.6601	8
		3	л	0	0,5	1.626	0,5	1.626	0	
			н	0.02512	0.5	0.6652	0.5	0.6652	8	
		10	л	0	0,5	1.821	0,5	1.821	0	
			н	0.02618	0.5	0.6754	0.5	0.6754	9	
	$\gamma=1,$ $s=0,1,$ $\bar{q}=0,005$	χ	0	л	0	0.4398	2.561	0.3698	1.824	0
				н	0.03747	0.4546	1.009	0.3818	0.7116	8
		3	л	0	0.4399	2.695	0.3694	1.919	0	
			н	0.03816	0.4571	1.016	0.3832	0.7157	9	
		10	л	0	0.4402	3.008	0.3684	2.143	0	
			н	0.03958	0.4623	1.031	0.3861	0.7239	9	

2. Результаты теорий [2] и [3] количественно мало отличаются друг от друга. Теория [3] по сравнению с теорией [2] приводит к несколько большим значениям максимальных прогибов. В случае шарнирного крепления разница между ними не превышает 6%, а в случае заделки—3%. Причем разница больше для пластин-полос переменной толщины. Это объясняется тем, что влияние изменения напряжения τ_{xz} по толщине для пластин переменной толщины больше, чем для пластин постоянной толщины, а теория [2] это влияние не учитывает.

Разумеется, разница между результатами теорий [2] и [3] для сильно анизотропных пластин переменной толщины и конечных размеров в плане может оказаться существенной.

Таблица 2

Защемление			T	\bar{x}_1	\bar{w}_m	\bar{x}_2	(w/h)	число итер.		
по теории [3]	$\gamma=0,$ $s=0,05,$ $q=0,0005$	χ	0	л	0	0,5	5.000	0,5	5.000	0
				н	0.01705	0.5	1.663	0.5	1.663	6
		3	л	0	0,5	5.224	0,5	5.224	0	
			н	0.01737	0.5	1.693	0.5	1.693	9	
		10	л	0	0,5	5.749	0,5	5.749		
	н		0.01814	0.5	1.742	0.5	1.742	10		
	$\gamma=1,$ $s=0,05,$ $q=0,001$	χ	0	л	0	0.4228	1.626	0.3807	1.161	0
				н	0.01129	0.4200	1.117	0.3848	0.7938	7
		3	л	0	0.4227	1.780	0.3787	1.271	0	
			н	0.01214	0.4320	1.172	0.3839	0.8325	7	
10		л	0	0.4224	2.137	0.3747	1.529			
	н	0.01404	0.4374	1.271	0.3831	0.9016	8			
по теории [4]	$\gamma=0,$ $s=0,05,$ $\bar{q}=0,0005$	χ	0	л	0	0,5	5.000	0,5	5.000	0
				н	0.01705	0.5	1.663	0.5	1.663	6
		3	л	0	0,5	5.149	0,5	5.149	0	
			н	0.01726	0.5	1.684	0.5	1.684	6	
		10	л	0	0,5	5.5	0,5	5.5		
			н	0.01778	0.5	1.722	0.5	1.722	9	
	$\gamma=1,$ $s=0,05,$ $\bar{q}=0,001$	χ	0	л	0	0.4227	1.627	0.3807	1.1607	0
				н	0.01129	0.4300	1.117	0.3848	0.7938	7
		3	л	0	0.4236	1.730	0.3802	1.234	0	
			н	0.01186	0.4320	1.155	0.3848	0.8203	8	
		10	л	0	0.4399	1.970	0.3791	1.405		
			н	1.220	0.4368	0.5664	0.3852	0.8718	8	

ЛИТЕРАТУРА

1. Новожилов В.В. Основы нелинейной теории упругости. М.-Л.: Гостехиздат, 1948. 211с.
2. Амбарцумян С.А. Теория анизотропных пластин. М.: Наука, 1987. 360с.
3. Киракосян Р.М. Прикладная теория ортотропных пластин переменной толщины, учитывающая влияние деформаций поперечных сдвигов. Ереван: Изд. Гитутюн НАН РА. 2000. 122с.
4. Васильев В.В. Классическая теория пластин – история и современный анализ. // Изв. РАН. МТТ. 1998. №3. С. 46-58.
5. Вольмир А.С. Гибкие пластинки и оболочки. М.: Гостехтеориздат, 1956. 272с.
6. Муштари Х.М. Нелинейная теория оболочек (сб. научн. тр.). М.: Наука, 1990. 223с.
7. Григолюк Э.И., Мамай В.И. Нелинейное деформирование тонкостенных конструкций. М.: Наука, 1997. 272с.

Институт механики
НАН Армении

Поступила в редакцию
25.12.2006